

弹性版影响场

A. 普赫尔著

科学出版社

TU311
L2

弹性版影响场



SAIC99/0/

科学出版社

1959

ADOLF PUCHER
EINFLUSSFELDER ELASTISCHER PLATTEN

1958

內 容 簡 介

在鋼筋混凝土結構中應用的版有基礎版、樓面板、屋蓋版，以及橋面板等。版的解是一個在應用上較麻煩的彈性理論問題。

本書介紹的彈性版影響場，在意义上與樑件承載結構的影響範圍一樣，僅是從單維發展到二維而已。書內共列舉 81 種影響場，其中：在版的形式方面包括帶形版、矩形版（邊比為 =0.5, 0.667, 0.8, 1.0, 1.2, 1.4）和圓版；在版邊的支承條件方面包括嵌固、簡支和自由，以及它們的各種組合；在截面力種類方面包括版中央彎矩、支承彎矩、扭矩、切力和支承力。這些影響場基本上已足夠給出所有可能遇到的版的數據；即使有時條件不盡相符，亦能通過參照對照和用插入法等滿意地給出符合設計要求的近似值。

此外，使用本書的影響場時，不要求太高深的理論認識。所需計算工作量亦要比用一般的彈性理論計算法則小几倍。

彈 性 版 影 响 場

A. 普赫爾著

朱 振 德 譯

*

科 學 出 版 社 出 版 (北京朝陽門大街 117 号)

北京市書刊出版業營業許可證出字第 061 号

中國科學院印刷廠印刷 新華書店總經售

*

1959 年 12 月第 一 版 书号 : 1963 字数 : 24,000

1959 年 12 月第一次印刷 开本 : 787 × 1092 1/10

(京) 0001—5,000 印张 : 2 插页 : 43

定价 : 3.70 元

目 录

§ 1. 引言.....	1
§ 2. 簡述影响場基本原理.....	2
§ 3. 对影响場的識別.....	3
§ 4. 影响場計值工作.....	5
a) 力矩(弯矩、扭矩和支承弯矩)影响場.....	5
b) 切力和支承力影响場	5
c) 計算体积和面积的方法	6
§ 5. 应用举例.....	7
§ 6. 結果的准确度.....	10
§ 7. 影响場的扩大应用.....	12
参考文献.....	14

图 表 目 录

条形版

- 图表 1. 带有两个简支边的带形版在其版中央 m_x 影响场 (8π 倍)。
图表 2. 带有两个简支边的带形版在其版中央 m_y 影响场 (8π 倍)。
图表 3. 带有一个嵌固边和一个简支边的带形版在其版中央 m_x 影响场 (8π 倍)。
图表 4. 带有一个嵌固边和一个简支边的带形版在其版中央 m_y 影响场 (8π 倍)。
图表 5. 带有一个嵌固边和一个简支边的带形版在其嵌固边的支承弯矩 m_x 影响场 (8π 倍)。
图表 6. 带有两个嵌固边的带形版在其版中央 m_x 影响场 (8π 倍)。
图表 7. 带有两个嵌固边的带形版在其版中央 m_y 影响场 (8π 倍)。
图表 8. 带有两个嵌固边的带形版在其嵌固边的支承弯矩 m_x 影响场 (8π 倍)。

半条形版

- 图表 9. 带有两个简支纵边的半带形版在其嵌固横边中心的支承弯矩 m_y 影响场 (8π 倍)。
图表 10. 带有两个简支纵边的半带形版在其自由横边中心的 m_x 影响场 (8π 倍)。
图表 11. 带有两个简支纵边的半带形版在其自由横边角点的切力 q_x 影响场 (a ,
 $a =$ 版条的支承宽度)。
图表 12. 带有一个简支纵边和一个嵌固纵边的半带形版在其嵌固横边中心的支承弯
矩 m_y 影响场 (8π 倍)。
图表 13. 带有两个嵌固纵边的半带形版在其嵌固横边中心的支承弯矩 m_y 影响场 (8π 倍)。

矩形版

- 图表 14. 带有四个简支边的矩形版在其版中央 m_x 影响场 ($a/b = 0.8, 8\pi$ 倍)。
图表 15. 带有四个简支边的矩形版在其版中央 m_y 影响场 ($a/b = 0.8, 8\pi$ 倍)。
图表 16. 带有四个简支边的矩形版在其版中央 m_x 影响场 ($a/b = 1.0, 8\pi$ 倍)。

- 图表 17. 带有四个简支边的矩形版在其四分之一点 m_x 影响场 ($b/a = 1.0, 8\pi$ 倍)。
图表 18. 带有四个简支边的矩形版在其四分之一点 m_y 影响场 ($b/a = 1.0, 8\pi$ 倍)。
图表 19. 带有四个简支边的矩形版在其角点近处 m_u 影响场 ($b/a = 1.0, 8\pi$ 倍)。
图表 20. 带有一个嵌固边的矩形版在其版中央 m_x 影响场 ($b/a = 0.8, 8\pi$ 倍)。
图表 21. 带有一个嵌固边的矩形版在其版中央 m_y 影响场 ($b/a = 0.8, 8\pi$ 倍)。
图表 22. 带有一个嵌固边的矩形版在其嵌固边中心的支承弯矩 m_y 影响场 ($b/a = 0.8,$
 8π 倍)。
图表 23. 带有一个嵌固边的矩形版在其版中央 m_x 影响场 ($b/a = 1.0, 8\pi$ 倍)。
图表 24. 带有一个嵌固边的矩形版在其版中央 m_y 影响场 ($b/a = 1.0, 8\pi$ 倍)。
图表 25. 带有一个嵌固边的矩形版在其嵌固边中心的支承弯矩 m_y 影响场 ($b/a = 1.0,$
 8π 倍)。
图表 26. 带有一个嵌固边的矩形版在其版中央 m_x 影响场 ($b/a = 1.2, 8\pi$ 倍)。
图表 27. 带有一个嵌固边的矩形版在其版中央 m_y 影响场 ($b/a = 1.2, 8\pi$ 倍)。
图表 28. 带有一个嵌固边的矩形版在其嵌固边中心的支承弯矩 m_y 影响场 ($b/a = 1.2,$
 8π 倍)。
图表 29. 带有两个相瞬嵌固边的矩形版在其版中央 m_x 影响场 ($a/b = 0.8, 8\pi$ 倍)。
图表 30. 带有两个相瞬嵌固边的矩形版在其版中央 m_y 影响场 ($a/b = 0.8, 8\pi$ 倍)。
图表 31. 带有两个相瞬嵌固边的矩形版在其嵌固边中心的支承弯矩 m_x 影响场 ($a/b =$
 $= 0.8, 8\pi$ 倍)。
图表 32. 带有两个相瞬嵌固边的矩形版在其嵌固边中心的支承弯矩 m_y 影响场 ($a/b =$
 $= 0.8, 8\pi$ 倍)。
图表 33. 带有两个相瞬嵌固边的矩形版在其版中央 m_y 影响场 ($b/a = 1.0, 8\pi$ 倍)。
图表 34. 带有两个相瞬嵌固边的矩形版在其边中心的支承弯矩 m_y 影响场 ($b/a = 1.0,$
 8π 倍)。
图表 35. 带有两个对立嵌固边的矩形版在其版中央 m_x 影响场 ($b/a = 0.8, 8\pi$ 倍)。
图表 36. 带有两个对立嵌固边的矩形版在其版中央 m_y 影响场 ($b/a = 0.8, 8\pi$ 倍)。
图表 37. 带有两个对立嵌固边的矩形版在其嵌固边中心的支承弯矩 m_y 影响场 ($b/a =$

$= 0.8, 8\pi$ 倍).

图表 38. 带有两个对立嵌固边的矩形版在其版中央 m_x 影响场 ($b/a = 1.0, 8\pi$ 倍).

图表 39. 带有两个对立嵌固边的矩形版在其版中央 m_y 影响场 ($b/a = 1.0, 8\pi$ 倍).

图表 40. 带有两个对立嵌固边的矩形版在其嵌固边中心的支承弯矩 m_y 影响场 ($b/a = 1.0, 8\pi$ 倍).

图表 41. 带有两个对立嵌固边的矩形版在其版中央 m_x 影响场 ($b/a = 1.2, 8\pi$ 倍).

图表 42. 带有两个对立嵌固边的矩形版在其版中央 m_y 影响场 ($b/a = 1.2, 8\pi$ 倍).

图表 43. 带有两个对立嵌固边的矩形版在其嵌固边中心的支承弯矩 m_y 影响场 ($b/a = 1.2, 8\pi$ 倍).

图表 44. 带有两个对立嵌固边的矩形版在其版中央 m_x 影响场 ($b/a = 1.4, 8\pi$ 倍).

图表 45. 带有两个对立嵌固边的矩形版在其版中央 m_y 影响场 ($b/a = 1.4, 8\pi$ 倍).

图表 46. 带有两个对立嵌固边的矩形版在其嵌固边中心的支承弯矩 m_y 影响场 ($b/a = 1.4, 8\pi$ 倍).

图表 47. 带有三个嵌固边的矩形版在其版中央 m_x 影响场 ($b/a = 0.8, 8\pi$ 倍).

图表 48. 带有三个嵌固边的矩形版在其版中央 m_y 影响场 ($b/a = 0.8, 8\pi$ 倍).

图表 49. 带有三个嵌固边的矩形版在其嵌固边中心的支承弯矩 m_x 影响场 ($b/a = 0.8, 8\pi$ 倍).

图表 50. 带有三个嵌固边的矩形版在其嵌固边中心的支承弯矩 m_y 影响场 ($b/a = 0.8, 8\pi$ 倍).

图表 51. 带有三个嵌固边的矩形版在其版中央 m_x 影响场 ($b/a = 1.0, 8\pi$ 倍).

图表 52. 带有三个嵌固边的矩形版在其版中央 m_y 影响场 ($b/a = 1.0, 8\pi$ 倍).

图表 53. 带有三个嵌固边的矩形版在其嵌固边中心的支承弯矩 m_x 影响场 ($b/a = 1.0, 8\pi$ 倍).

图表 54. 带有三个嵌固边的矩形版在其嵌固边中心的支承弯矩 m_y 影响场 ($b/a = 1.0, 8\pi$ 倍).

图表 55. 带有三个嵌固边的矩形版在其版中央 m_x 影响场 ($b/a = 1.2, 8\pi$ 倍).

图表 56. 带有三个嵌固边的矩形版在其版中央 m_y 影响场 ($b/a = 1.2, 8\pi$ 倍).

图表 57. 带有三个嵌固边的矩形版在其嵌固边中心的支承弯矩 m_x 影响场 ($b/a = 1.2, 8\pi$ 倍).

图表 58. 带有三个嵌固边的矩形版在其嵌固边中心的支承弯矩 m_y 影响场 ($b/a = 1.2, 8\pi$ 倍).

图表 59. 带有四个嵌固边的矩形版在其版中央 m_x 影响场 ($b/a = 0.8, 8\pi$ 倍).

图表 60. 带有四个嵌固边的矩形版在其版中央 m_y 影响场 ($b/a = 0.8, 8\pi$ 倍).

图表 61. 带有四个嵌固边的矩形版在其长嵌固边中心的支承弯矩 m_y 影响场 ($b/a = 0.8, 8\pi$ 倍).

图表 62. 带有四个嵌固边的矩形版在其版中央 m_x 影响场 ($b/a = 1.0, 8\pi$ 倍).

图表 63. 带有四个嵌固边的矩形版在其四分之一点 m_x 影响场 ($b/a = 1.0, 8\pi$ 倍).

图表 64. 带有四个嵌固边的矩形版在其四分之一点 m_y 影响场 ($b/a = 1.0, 8\pi$ 倍).

图表 65. 带有四个嵌固边的矩形版在其嵌固边中心的支承弯矩 m_y 影响场 ($b/a = 1.0, 8\pi$ 倍).

图表 66. 带有四个嵌固边的矩形版在其版中央扭矩 m_{xy} 影响场 ($b/a = 1.0, 8\pi$ 倍).

图表 67. 带有四个嵌固边的矩形版在其版中央切力 a_y 影响场 ($b/a = 1.0, 2\pi a$ 倍, a = 边长).

图表 68. 带有四个嵌固边的矩形版在其嵌固边中心的支承力 a_y 影响场 ($b/a = 1.0, 2\pi a$ 倍, a = 边长).

图表 69. 带有两个自由边和两个简支边的矩形版在其版中央 m_x 影响场 ($b/a = 0.5, 8\pi$ 倍).

图表 70. 带有两个自由边和两个简支边的矩形版在其版中央 m_y 影响场 ($b/a = 0.5, 8\pi$ 倍).

图表 71. 带有两个自由边和两个简支边的矩形版在其自由边中心 m_x 影响场 ($b/a = 0.5, 8\pi$ 倍).

图表 72. 带有两个自由边和两个简支边的矩形版在其版中央 m_x 影响场 ($b/a = 0.667, 8\pi$ 倍).

图表 73. 带有两个自由边和两个简支边的矩形版在其版中央 m_y 影响场 ($b/a = 0.667, 8\pi$ 倍).

图表 74. 带有两个自由边和两个简支边的矩形版在其自由边中心 m_x 影响场 ($b/a = 0.667, 8\pi$ 倍).

圆 版

图表 75. 沿圆周简支的圆版在其圆心点 m_x 影响场 (8π 倍).

图表 76. 沿圆周简支的圆版在其四分之一点 m_x 影响场 (8π 倍).

图表 77. 沿圆周简支的圆版在其四分之一点 m_y 影响场 (8π 倍).

图表 78. 沿圆周嵌固的圆版在其圆心点 m_x 影响场 (8π 倍).

图表 79. 沿圆周嵌固的圆版在其四分之一点 m_x 影响场 (8π 倍).

图表 80. 沿圆周嵌固的圆版在其四分之一点 m_y 影响场 (8π 倍).

图表 81. 沿圆周嵌固的圆版在其一个边缘点支承弯矩 m_x 影响场 (8π 倍).

§ 1. 引 言

自从在构件承载结构的静力学中有了“影响线”以来，人们每喜利用“影响线”来计算由活荷载或荷重组（交通荷载）引起的截面力，因为影响线不仅毫无困难地给出预知布局的荷载所起的截面力，而且容易用以识别最不利的荷重位置。

因此在每个结构力学学者所从事的工作面前，又提出有关构件系统影响线理论和工作方法的广阔范畴。此外，对于某些易于归类的构件承载结构，尤其对一些等惯矩的或对一些变惯矩的直梁，已经出版过许多图表著作，给出无因次的基本数据，这些系数再乘以与构件系统尺寸相关的数值，为许多“顶点”提供影响线。这些图表著作，使结构力学学者在实际工作中节省了许多劳动，因此，是被人所乐用的。

从单维的构件影响线发展到二维的版而成为“影响场”，观念本来很相近的。随着人们懂得利用版的二维行为后——尤其在钢筋混凝土结构中——用版作为结构构件逐渐现实起来。

因此这个课题的理论处理与版理论的其他部分的发展比较起来要晚些。

关于挠度影响场的观念，首先是由亨思基(Hencky)^[1]，也可能已由更早一些的人提出。按照马克思威尔定理，挠度影响场就是由点荷重所引起的挠曲面。对于规定的荷载可利用积分来求挠曲面的公式，这里毋须对挠曲影响场的意义详细叙述。这个方法先后被很多学者采用，可是都没有注意到影响场的意义。即如在纳戴(Nadai)^[2]编著的比较详细的关于弹性版理论的著作中也还见不到有关影响场方面的概念性的说明。

固然结构力学学者对版挠度影响场并不感兴趣，因为在设计中主要须要

知道的不是挠度，而是截面力。因此我们须要探求截面力——弯矩和切力——的影响场。

在这方面最早的理论应归源于奈门伊(Neményi)^[3]和韦司脱加德(Westergaard)^[4]；可是他们都没有能对自己的有价值的成果继续进行深入研究，虽然这些为进一步理论发展确是意义重大的。

作者可能是第一个对截面力影响场作了比较完整的研究，这方面狄兴格(Dischinger)^[5]有过一篇叙述矩形版弯矩影响场的报告。此后不久作者^[6]发表了第一篇指出基本要点的理论文章，阐述了所谓影响场的奇异点的闭合分析公式。显然与这篇文章无关系地出现了奥立克(Ohlig)^[7]和皮特奈(Bittner)^[8]的论文；他们对本问题的一些特例企图单纯地用级数分析来解；可是在顶点周围因级数分析收敛不好而失效，而且对于问题的中心，即每种截面力的典型性奇异点，无法解释。纵然如此，尤其是皮脱纳所著的图表在实际工作中已可应用。

有关理论的进一步发展，例如对各种影响场的奇异点及对影响场本身的计算方法的分析阐述，作者^[9,10,11]、W. 柯波思基(W. Koepcke)^[12-13]、W. 特伏尔柴克(W. Dworzak)^[14]、R. 斯尼大立克(R. Snidarić)^[15]介绍了一系列文章，至于最近的一些收获还未见发表。除上列陆续发表的一些文章外，如所知道的，还有奥尔逊(Olsen)、莱恩尼兹胡伯(Reinitzhuber)^[16]和L. 波尔逊(L. Poersen)^[17]发表了关于这个课题的报告。

从此，这方面的理论已是相当丰富起来。作者拟把它写成一本专门的书籍来出版。这本书是为适应应用结构力学的需要而编写的，如要包括详细的理论阐述，则其篇幅负担太重了。

对于这些有实用价值的有关截面力影响场的成果，不要求人们太高深的理论认识就可使用；正如人们对对数的理论没有详细认识而亦能计算一

样。结构力学者对于各种荷重情况进行计算的方法将在以下各章中敍述。这些方法已能用最少的计算工作量提供最准确的结果。

§ 2. 簡述影响場基本原理

影响場理論与普通版理論一样，是从相同的假定出发的，例如：版的等厚度对比其它尺寸來說是微小的；材料是匀質的、各向同性的并且服从虎克定律；挠度对比厚度來說是微小的。

这些假定只是有条件地适用于我們的材料，尤其对于钢筋混凝土。但是多年来的实践告訴我們，根据这些假定来計算截面力，并完全按照这种方法来进行設計，在钢筋混凝土结构中同样获得具有足够安全度的构筑物。所以影响場亦可适用于計算钢筋混凝土版。

版的弯矩是与横胀系数 μ 有关的； μ 是一个材料常数，因此是不变的。欲得与 μ 值无关系的結果，必須在弯矩影响場中代 $\mu = 0$ 。因此严格的說，弯矩影响場可用弯曲影响場来代替。所以对钢筋混凝土版來說，由于它的 μ 比鋼料的要小得很多，这个假定很是近似适用的。可是，以后还将交待，人們有能力去处理每个 μ 值的。

因为，对于所有服从虎克定律的弹性体，亦能适用馬克思威尔位移互易定律和迭加定律，所以弹性版在点荷重作用下的弯曲面亦就是这个荷重作用点的挠度影响面或挠度影响場。

假定 $A(u, v)$ 是荷重 $Q = 1$ 的作用点， $P(x, y)$ 是任意一个点(图1)，則弯曲面的公式可用符号写成：

$$K(u, v; x, y).$$

因此坐标 (u, v) 指明影响場的頂点。影响場是与四个变数 $(u, v; x, y)$ 相关的，因为对于所有影响場的全部来讲，頂点亦在版的整个范围内变动；可是頂点的坐标 (u, v)

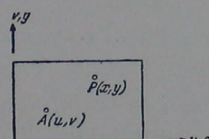


图1. 頂点 A 具有坐标 (u, v)
和荷重点 P 具有坐标 (x, y)

对于每个单独的影响場作为参数來讲則是不变的。

計算在頂点上由任意一个荷重組 $P_i(x_i, y_i)$ 和任意一个連續分布的荷重 $p(x, y)$ 所引起的挠度 $w(u, v)$ 可用公式：

$$w(u, v) = \sum_i P_i K(u, v; x_i, y_i) + \iint p(x, y) K(u, v; x, y) dx dy. \quad (2,1)$$

这个式子来自迭加定律，并且与桿件挠度 $y(u)$ 的影响線 $\eta(u; x)$ 的計算規則相对应的。

$$y(u) = \sum_i P_i \eta(u; x_i) + \int p(x) \eta(u; x) dx. \quad (2,1a)$$

仅是由 (2,1a) 的单維关系变为 (2,1) 的二維关系。

对于版的設計工作來說，最主要的是弯矩和切力；至于挠度则较少兴趣。因此我們要探求的是截面力的影响場。

根据弹性版理論将弯曲面經微分后而得弯矩和切力。这些是：

$$m_u = -N \left(\frac{\partial^2 w}{\partial u^2} + \mu \frac{\partial^2 w}{\partial v^2} \right), \quad (2,2a)$$

$$m_v = -N \left(\frac{\partial^2 w}{\partial v^2} + \mu \frac{\partial^2 w}{\partial u^2} \right), \quad (2,2b)$$

$$m_{uv} = -N \frac{\partial^2 w}{\partial u \partial v}, \quad (2,2c)$$

$$q_u = -N \frac{\partial \Delta w}{\partial u}, \quad (2,2d)$$

$$q_v = -N \frac{\partial \Delta w}{\partial v}. \quad (2,2e)$$

在公式(2,2a)和(2,2b)中，包含着与材料性质有关的横胀系数 μ 在内。

由于以下的推理中要代 $\mu = 0$, 所以获得如下的简化:

$$m_u = -N \frac{\partial^2 w}{\partial u^2}, \quad (2, 2a')$$

$$m_v = -N \frac{\partial^2 w}{\partial v^2}. \quad (2, 2b')$$

使(2,1)服从于公式(2,2)的微分规律, 显然就得, 例如:

$$\begin{aligned} m_u &= -N \frac{\partial^2 w}{\partial u^2} = -N \left[\sum_i p_i \frac{\partial^2 K(u, v; x_i, y_i)}{\partial u^2} + \right. \\ &\quad \left. + \iint p(x, y) \frac{\partial^2 K(u, v; x, y)}{\partial u^2} dx dy \right]; \end{aligned} \quad (2, 3)$$

这是一个在构造形式上完全相同的(2,1)的式子, 只是其中的 K 被 $\frac{\partial^2 K}{\partial u^2}$ 代替了.

由此显见, $-N \frac{\partial^2 K(u, v; x, y)}{\partial u^2}$ 就是弯矩影响场; 说得明确一些, 由于 $\mu = 0$, 所以亦就是弯曲影响场.

因为(2,1)可以按照(2,2)中的每个规则进行微分, 所以适用定理:

“由挠曲面经微分求所有截面力的影响场是这样进行的: 将挠度影响

场, 即点荷重所引起的挠曲面, 对顶点的坐标适当地加以微分”.

在大多数情况下, 是不可能具体施行微分的, 因为当具有任意作用点的点荷重作用时, 包含顶点坐标 u, v 的弯曲面的分析式子, 除少数特例外, 是不知道的. 即当能够用级数公式(例如拿戴和享思基的解法)表达的时候, 虽然经详细的计算, 用这个方法也得不出满意的结论, 尤其在顶点周围.

为了探求影响场, 因而发展了另外一些需要计算工作较少而获得结果很准确的方法. 如同已在 § 1 中曾经提到过, 企图将这方面的丰富内容写成一本专门的著作. 至于在这本书里, 只能把一些基本推理进行到一定程度来适应应用方面日益增长的需要. 最后, 关于进行影响场的计算工作一般不须要深入理解理论, 因为采用这个方法只须记住最简单的运算手续就够了.

如果知道了同一顶点的两个互相垂直的截面方向的弯矩影响场, 那末处理任一横截系数都是可能的. 比较公式(2, 2a, b)与(2, 2a', b'), 我们知道, 首先对同一荷重位置的两个方向的影响场进行计算, 然后只须用 μ 乘第二方向的结果, 再併入第一方向的结果. 因此采用现在讲的影响场是可以处理任意的 μ 值了.

§ 3. 对影响场的识别

用等高线表示的影响场的形状是由下列三个情况来决定的:

- 根据截面力的类别(弯矩、扭矩、切力等)和顶点的位置,
- 根据版边缘的轮廓形状,
- 根据版的支承类型.

关于 a). 人们从一根影响线上立即会看出顶点在那里; 以及根据影响线在顶点出现纵距跳跃还是角点, 立即知道它是切力还是弯矩. 同样对于弹性版亦可立刻知道影响场顶点的位置和影响场的类型.

每种影响场, 例如在其顶点的周围近处具有相同的形状, 常重复出现等

高线特征的图形.

尤其应加注意的: 孔弯矩影响场和切力影响场在其顶点得无限大的数值, 其余截面力(嵌固弯矩、扭矩)的影响场在顶点依然为有限值. 例如图 2 是一个弯矩影响场的透视图, 在其顶点处出现一个逐渐变细的无限长的管子, 图中在任意一处把它截断了.

对于各种截面力在顶点周围等高线形状如图 3 所示, 同时附有文字解释. 人们如能熟记这些图形, 则对每个影响场的类别和其顶点可以立加鉴别.

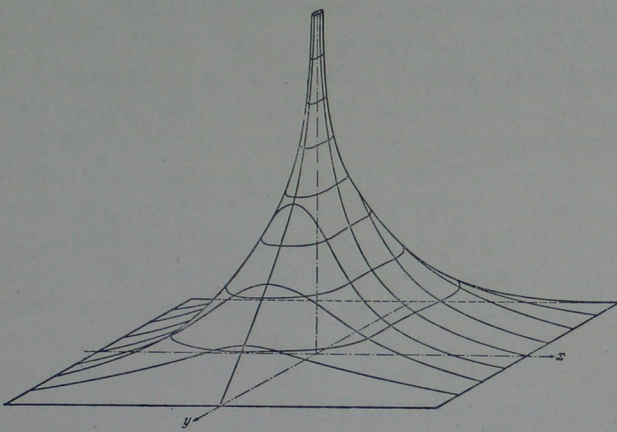


图2. 弯矩影响场的透視圖,任意一处截断了其在頂点处无限长的、具有有限体积的細管。

关于 b). 影响场是一个与版的边缘形状相似的边缘外形来围限的。因此人们立即可以知道,选用怎样一个影响场是适用的。尤其在矩形版上,边的比值对影响场的适用性是很重要的。

关于 c). 版的边可以有許多种不同支承形式:

1. 无旋转和无位移(嵌固边),
2. 弹性旋转和无位移(弹性嵌固边),
3. 自由旋转和无位移(非嵌固支承边),
4. 自由旋转和弹性位移(弹性支承边),
5. 自由旋转和自由位移(自由边).

当支承类别为2和4时,整个影响场受到支座弹性刚度与版刚度的影响。因为要考虑边缘刚度情况,所以影响场仅用于一定的刚度比而失

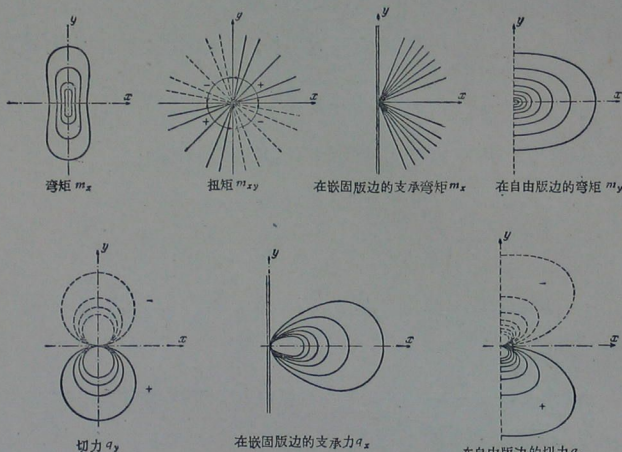


图3. 各种截面力影响场在顶点周围的等高線的变化标记.

却其通用性。因此,在我們所举的影响场图中只选用了1、3和5的支承情况,它们既具有普遍适用性,并且作为极限情况也是很重要的。

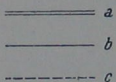


图4. 版边支承条件的标记: a为无旋转嵌固和无位移的边; b为自由旋转和无位移的边; c为自由旋转和自由位移的边。

不同支承情况用不同符号来区别。双线表示嵌固边,单线表示非嵌固支承,虚线则为自由边(图4)。

应当加以注意, 标誌嵌固边的双线中常以里线表示实际的版边。

因此,每个影响场即使沒有文字說明亦能立刻識別。这里仍然注有文字說明,使初学者不致混淆錯用。

§ 4. 影响場計值工作

a) 力矩(弯矩、扭矩和支承弯矩)影响場。

如果在一个影响場的等高線圖內用 $\kappa(u, v; x, y)$ 来表示纵距, 則適用

下列公式來計算:

对于面荷載 $p(x, y)$

$$m(u, v) = \iint p(x, y) \cdot \kappa(u, v; x, y) dx dy,$$

对于綫荷載 $p(s)$

$$m(u, v) = \int p(s) \cdot \kappa(u, v; x, y) ds,$$

对于点荷重(集中荷重) $P_i(x_i, y_i)$

$$m(u, v) = \sum_i P_i(x_i, y_i) \cdot \kappa(u, v; x_i, y_i).$$

如果用下列无量綱坐标代替实际尺寸 x 和 y

$$\xi = x/l, \quad \eta = y/l \quad \text{和} \quad \sigma = s/l \quad \text{和} \quad \delta = u/l, \quad \varepsilon = v/l \quad (3,1)$$

其中暫取一个任意的 l , 則因

$$dx = l \cdot d\xi, \quad dy = l \cdot d\eta, \quad ds = l \cdot d\sigma;$$

$$m(u, v) = l^2 \iint p(\xi, \eta) \cdot \kappa(\delta, \varepsilon; \xi, \eta) d\xi d\eta, \quad (3,2)$$

$$m(u, v) = l \int p(\sigma) \cdot \kappa(\delta, \varepsilon; \xi, \eta) d\sigma, \quad (3,3)$$

$$m(u, v) = \sum_i P_i(\xi_i, \eta_i) \cdot \kappa(\delta, \varepsilon; \xi_i, \eta_i). \quad (3,4)$$

这些一般性的計值公式告訴我們, 影响場与版的絕對尺度无关, 而只与版的形状有关。

一般情况下, 面荷重和綫荷重不是变化的, 而是常数, 可是它們的分布則常只局限于部分范围 \mathfrak{B} 或 \mathfrak{L} . 此时可将 $p =$ 常数提在积分号的前面, 积

分可是只在范围 \mathfrak{B} 和 \mathfrak{L} 内进行。

因此当 $p =$ 常数时适用

$$m(u, v) = pl^2 \iint_{\mathfrak{B}} \kappa(\delta, \varepsilon; \xi, \eta) d\xi d\eta, \quad (3,2a)$$

$$m(u, v) = pl \int_{\mathfrak{L}} \kappa(\delta, \varepsilon; \xi, \eta) d\sigma. \quad (3,3a)$$

(3,2a) 和 (3,3a) 可用几何学来解释. 积分 (3,2a) 就是在荷重范围 \mathfrak{B} 以内影响場的体积; 积分 (3,3a) 表示在荷重綫 \mathfrak{L} 范围以内存在的影响值的面积。

这个几何学的意义同时就是計值的解决方法. 这是一項基本工作, 在已經有了影响場等高線的情况下, 进行計算 \mathfrak{B} 范围的体积和 \mathfrak{L} 范围的面积. 任何一种計算体积和面积的方法都可以用到这方面來.

还須指出, 弯矩影响值是无量綱的. 所以 (3,2a) 和 (3,3a) 的积分亦是无量綱数值. 由于在公式 (3,2a) 内: 例如 p 以吨/平方米計, l 以米計, 所以得 $m(u, v)$ 为力的量綱, 即以吨計. 这是确实的, 盖因 $m(u, v)$ 是一个按长度单位而言的弯矩, 所以其量綱为吨米/米 = 吨.

虽然可以用任意数值来代 (3,1) 的 l , 但是, 如果对于带形版(表 1 至 13) 取用其跨距、对于矩形版(表 14 至 74) 取用其較长的一边来代 l 还是頂适宜的.

b) 切力和支承力影响場.

在等高線圖内仍然用 κ 来表示影响值. 这些数值又是无量綱的, 但是表达了实际影响值的 a 倍值. 对切力影响場來說, a 不是任意值, 而是一个定值. 在所举的影响場图表的文字說明中, 随时注明了应当代那个 a .

这里亦引用了无量綱坐标来进行計值:

$$\xi = x/a, \quad \eta = y/a; \quad \delta = u/a, \quad \varepsilon = v/a; \quad \sigma = s/a; \quad (3,5)$$

这是有利的,取 a 来作为比較长度.

因此,当所有影响場的乘数均为 $\frac{1}{a}$ 时,得:

$$q(u, v) = a \iint p(\xi, \eta) \cdot \kappa(\delta, \varepsilon; \xi, \eta) d\xi d\eta, \quad (3,6)$$

$$q(u, v) = \int p(\sigma) \cdot \kappa(\delta, \varepsilon; \xi, \eta) d\sigma, \quad (3,7)$$

$$q(u, v) = \frac{1}{a} \sum_i P_i(\xi_i, \eta_i) \cdot \kappa(\delta, \varepsilon; \xi_i, \eta_i). \quad (3,8)$$

当面荷重或綫荷重 p = 常数时,又得:

$$q(u, v) = pa \iint_{\xi} \kappa(\delta, \varepsilon; \xi, \eta) d\xi d\eta, \quad (3,6a)$$

$$q(u, v) = p \int_{\varepsilon} \kappa(\delta, \varepsilon; \xi, \eta) d\sigma. \quad (3,7a)$$

这些公式告訴我們,切力影响場的計值亦归根为体积和面积計算,并且如同弯矩影响場一样进行計算;只是其乘数不同而已.

c) 計算体积和面积的方法.

任何一种現有的計算体积的方法都可以用来計算在荷重范围内部分影响場的体积. 一般通过影响場立体切取許多平行的剖切面,求出其面积,再由面积計算体积. 这里可以采取多种方式来进行的.

豎向平行剖切. 这种剖切方法适用于小的荷重范围,尤当荷重范围内有頂点存在时. 剖切面积一般根据其纵距按梯形定理或辛波森 Simpson 定理計算之.

横向剖切适用于大的荷重范围,尤当版受滿荷重时. 求計横向剖切面面积时最好用面积仪.

用估計平均值計值时,对荷重范围部分先估出其平均值,再由部分范围的底面积 ΔF 与平均值 $\bar{\kappa}$ 相乘而得荷重部分影响場的体积 ΔV :

$$\Delta V = \bar{\kappa} \cdot \Delta F. \quad (3,9)$$

如图 5 所示,估計平均值是与部分范围的大小和在这范围内影响場的形状有关的. 如影响場在該范围内仅是微曲——即接近平面——,則估計平均值要比強烈弯曲場面时容易得多. 同样对小的部分范围估計平均值自然比大的部分范围容易得多.

如果影响場的頂点存在于部分范围之内时,这个方法就会不可靠,因为在那裡遇到奇异点,对估計适当的平均值带来了困难.

所有影响場的弯曲度是随其与頂点的距离增大而減小. 所以离开頂点到了一定距离,有时可将荷重作为点荷重来处理,即如不考虑輪压分配宽度,而按公式 (3,4) 来計值. 这个方法的使用許可程度是不难加以證明的. 如果在 (ξ_i, η_i) 处的周围,在 ΔF_i 面的范围内传递总荷重 P_i , 則如假定在 ΔF_i 上的荷載是均匀分布,即 $p = P_i / \Delta F_i$, 根据 (3,2a) 得:

$$m(u, v) = \frac{\Delta P_i}{\Delta F_i} \iint_{\Delta F_i} \kappa(\delta, \varepsilon; \xi, \eta) d\xi d\eta. \quad (3,10)$$

因为,由于平均值定理

$$\iint_{\Delta F_i} \kappa(\delta, \varepsilon; \xi, \eta) d\xi d\eta = \bar{\kappa} \cdot \Delta F_i;$$

和

$$\lim_{\Delta F_i \rightarrow 0} \bar{\kappa} = \kappa(\delta, \varepsilon; \xi_i, \eta_i),$$

所以对于頂点以外的部分范围,公式 (3,10) 可化为

$$m(u, v) = P_i \bar{\kappa}_i, \quad (3,11)$$

并对于頂点以外的真正点荷重或非常小的部分范围化为

$$m(u, v) = P_i \kappa(\delta, \varepsilon; \xi_i, \eta_i),$$

上式是与(3,4)一致的.

显然(3,11)只适用于小部分范围,因为只有在这种情况下估計平均值 $\bar{\kappa}$ 才具有一定的准确度.

亦可利用(3,11)来进行較大荷重范围的計值,只須把它分为許多較小

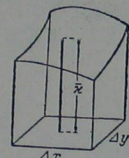


图 5. 从影响場上切出范围为 $\Delta x \cdot \Delta y$ 的小块,平均纵距值为 $\bar{\kappa}$

的部分范围 ΔF_i , 并且用部分荷重 ΔP_i 来計算:

$$m(u, v) = \sum_i \Delta P_i \cdot \bar{\kappa}_i.$$

可是这个方法不如用豎向剖切或横向剖切准确, 并且在計算过程中亦无优点可举。

对于离頂点較远的較小部分范围常可将荷重简化为点荷重, 再按公式(3,4)來計算。这确实在計算桥面板时采用了(見 § 5 举例 3)。

弯矩影响場在頂点的纵距为无限大, 自然应当在某一处将等高線图形截断。應該注意到, 影响值 κ 固然无限增长, 但是这个逐漸变細的管子的体

积确是有限的, 并且可以計算的。在所有影响場上表示了这样多的等高線, 其不再示出部分的体积則已小得可以略計。作者作过这方面的證明^[9]。

在計算时按照公式(3,2至4)和(3,6至8)利用无因次的长度。这是合适的, 根据公式(3,1)选用矩形版的較长的一边, 以及带形版或半带形版的跨距作为长度单位 l 。由于所有影响場是按照矩形版用較长的一边为 20 厘米、带形版用跨距为 10 厘米来表示的, 所以人們可以用比例尺 1:5 或 1:10 来繪制或量計所有以这个长度单位为准的无因次的尺寸。

茲于下节利用一些举例來說明計算工作的实际进行情况。

§ 5. 应用舉例

例 1. 对于一个相当小的荷重范围用豎向剖切来进行計算。

在一块四边嵌固的正方版的中部 $\frac{1}{4} \times \frac{1}{4}$ 范围上, 作用荷重 $p = \text{常数}$, 計算其版中央的弯矩 m_x 。

利用图表 62 的影响場, 画出荷重范围和豎向剖切。本例由于对称关系取五个截面已足够(图 6)。

为了进行計算, 画出各剖面的形状(图 7)。計算面积系根据辛波森定理和矩形、抛物綫切面和梯形的面积公式, 例如图 7 直接注在各截面图的旁邊。由于截面呈对称性关系, 只須求出一半数的截面面积 $F_I, F_{II}, F_{III}, F_{IV}$ 和 F_V 。

这些截面的长度应按一个以影响場的边长为长度单位的比例尺来測量。因为这个边长为 20 厘米, 用一个比例尺 1:5 正确測計; 如果应用一个尚可讀得清的比例尺 1:50 时, 則得 10 倍数值。影响場的纵距同样是无因次的, 所以亦得面积为无因次的数值。

面积計算在图 7 内按实际工作步驟的需要予以列出。其結果 $F_I = 0.389, F_{II} = 0.396, F_{III} = 0.372, F_{IV} = 0.315, F_V = 0.307$ 。

根据这些面积再利用辛波森定理計算无因次的体积

$$\mathfrak{B} = \iint_{\mathfrak{B}} \kappa(\delta, \varepsilon; \xi, \eta) d\xi d\eta.$$

无因次地代入各截面間的距离; 它是 $\frac{1}{8} \cdot \frac{1}{4} = \frac{1}{32} = 0.0313$ 。由于双重对称性和乘数为 8π 的緣故, 得:

$$8\pi\mathfrak{B} = 4 \cdot \frac{1}{3} \cdot 0.0313 (0.389 + 4 \cdot 0.396 + 2 \cdot 0.372 + 4 \cdot 0.315 + 0.307) = 0.1786$$

待求的場中心弯矩 m_x 根据公式(3,2a)为:

$$m_x = pl^2 \mathfrak{B} = \frac{1}{8\pi} 0.1786 pl^2 = 0.00708 pl^2.$$

由于这里的影响場和荷載均系对称, 故适用 $m_x = m_y$ 。上面算得的数值是假定 $\mu = 0$ 。如果 $\mu \neq 0$, 例如 $= \frac{1}{6}$, 則根据 § 2 的末节所叙, 以及因 $m_x = m_y$, 得

$$m_x = \left(1 + \frac{1}{6}\right) 0.00708 pl^2 = 0.00825 pl^2.$$

当对影响場計算有了一定熟練程度后, 可以不必画出截面 I 至 V,

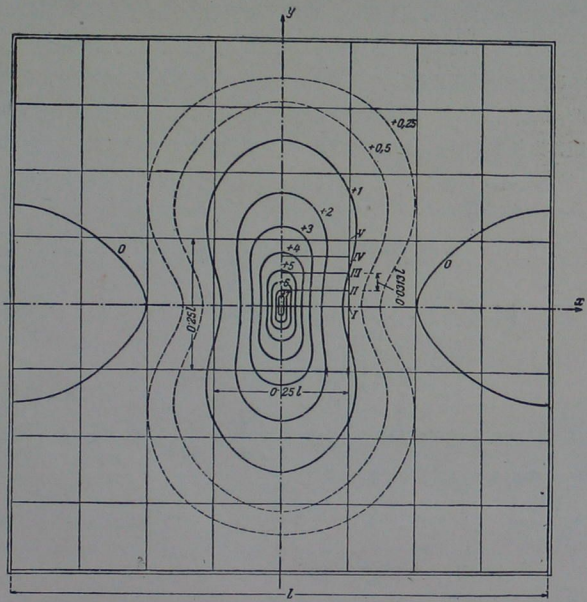


图 6. 举例 1, 当荷重范围在版的中部,为了影响場計值而布置截面 I 至 V.

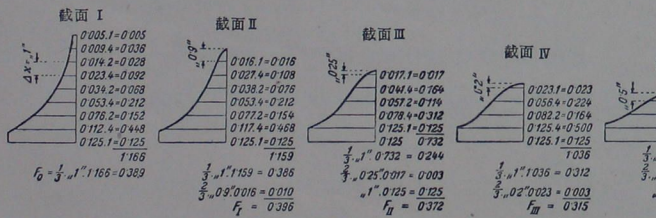


图 7. 举例 1 的截面 I 至 V 和计值。

因为计算时可以直接从影响场读出准确尺度。这里划出截面仅使有助于理解；并非必须要按比例尺划出。

例 2. 对一个比較大的荷重范围用横向剖切法来进行計值

在一块四边简支、边比 $l_x/l_y = 0.8$ 的矩形板上，求由满荷载引起于版中
中央矩 m_{xy} 。

κ	cm ²	cm ² /400	n	$n \cdot F$
0	320.0	0.800	1	0.800
1	132.0	0.330	4	1.320
2	59.2	0.148	2	0.296
3	23.6	0.059	4	0.236
4	9.6	0.024	2	0.048
5	3.6	0.009	4	0.036
6	1.4	0.003	2	0.006
7	0.6	0.001	4	0.004
8	0.2	0.000	1	0
				2.746

取用图表 14 的影响场。荷重范围满延整个版面。这里首先须要算出由等高线围起来的横向截面 $\kappa = 0, 1, 2, \dots, 7, 8$ 的面积。应该注意，这里取用较长的一边 l_y' ——在图表 14 中是 20 厘米长——来作为无因次的长度比例尺。因此将这些按平方厘米求得的面积用 400 来除，借以得到真正的“无因次的面积”。求计面积可采用毫米纸计方格数的方法或利用面积仪来测量。

利用面积仪所求出的面积，以及用辛泼森定理計算无因次的体积 $8\pi^3$ 彙列于下表。再按較长边 l_y 計算：

$$m_y = pl_y^2 \mathfrak{V} = \frac{1}{8\pi} 0.915 pl_y^2 = 0.0364 pl_y^2.$$

如果計算 m_1 , 則以 l_1 為準。因 $l_1 \equiv l_1/0.80$

$$m_x = \frac{0.0364}{0.80^2} pl_x^2 = 0.0568 pl_x^2.$$

例 3. 計算一块鋼筋混凝土桥面板的版中央弯矩。

茲須待計算一級公路橋的橋面板版中央的弯矩 m_y ，板沿 $l_x = 7.50\text{m}$ 的邊是嵌固的，沿 $l_y = 9.00\text{m}$ 的邊是簡支的。

采用图表 42 的影响場。作为設計依據的最不利的荷重位置示如图 8 ——一台 24 吨的压路机、二輛 14 吨的运货车和 500 公斤/平方米的人羣重。

荷重位置应按准确比例尺 “ $l_y = 1$ ” 画入，应为：

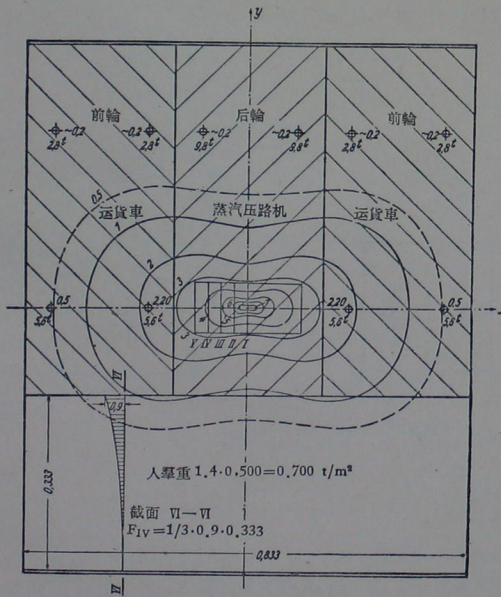


图 8. 例 3 的荷重位置和剖切布置。

前后軸距 3.00m 或 $\frac{3.00}{9.00} = "0.333"$ ，

同軸輪距 1.60m 或 $\frac{1.60}{9.00} = "0.178"$ 。

除放在頂点上的压路机前輪的荷重是按照面分布荷重处理外，所有其他輪压均可作为集中力來計值。

作为輪压的分布面可假定为輪胎和桥面板頂层間的接触面、再在每个方向均按照桥面板頂层至受拉鋼筋的双倍距离增大。这个假定就是相当于一个 45° 的传布角引至受拉鋼筋。設桥面板上的路面厚 16 厘米，板的有效高度估計为 25 厘米，则压路机前輪下的荷重面的寬度为：

$$\text{在行驶方向内 } b_1^{(*)} = 10 + 2(16 + 25) = 92\text{cm}$$

$$\text{垂直于行驶方向 } b_2^{(**)} = 100 + 2(16 + 25) = 182\text{cm}$$

按照比例尺 “ $l_y = 1$ ”：

$$\beta_1 = b_1/l_y = \frac{0.92}{9.00} = "0.102"，$$

$$\beta_2 = b_2/l_y = \frac{1.82}{9.00} = "0.202"。$$

在这个荷重范围内分布于单位面积上的荷載，包括冲击系数 $\varphi = 1.4$ 后，为：

$$p = \frac{1.4 \cdot 10.00}{0.92 \cdot 1.82} = 8.35 \text{ t/m}^2。$$

为了計值，在图 8 内划入压路机前輪的荷重范围，并切取了五个豎向剖切面。

計值工作分为由压路机前輪所起部分，由作为集中力計算的其他各輪荷重所起部分和由人羣重所起部分三步进行。

^(*) 在行驶方向內压路机前輪与路面接触面的長为 10cm。

^(**) 压路机前輪寬为 100cm。——譯註。

在压路机前轮荷重范围的体积，亦如例 1 詳細演算过的一样，是用豎向剖切法来計算的。这些为：

$$F_I = 0.244, F_{II} = 0.237, F_{III} = 0.215, F_{IV} = 0.192, F_V = 0.180.$$

并由于各剖切面間的間距为： $\Delta\xi = \beta_2/8 = 0.0253$ ，得

$$8\pi\mathfrak{V} = 4 \cdot \frac{1}{3} \cdot 0.0253(0.244 + 4 \cdot 0.237 + 2 \cdot 0.215 + 4 \cdot 0.192 + 0.180) = 0.0937.$$

由此得压路机前轮部分所起的弯矩为：

$$\Delta m_1 = pl_y^2\mathfrak{V} = \frac{1}{8\pi} \cdot 0.0937 \cdot 8.35 \cdot 9.00^2 = 2.52 \text{ tm/m}.$$

其他各輪荷重所起的数值是按点荷重根据公式(3,4)計算。图 8 所示的輪压已經包括冲击值在内；因此得

$$\Delta m_2 = \sum_i P_i \kappa_i = \frac{1}{8\pi} 2 [5.6^t \cdot 2.20 + 5.6^t \cdot 0.50 + (9.8^t + 2.8^t + 2.8^t)0.20] = 1.45 \text{ tm/m}.$$

人羣重部分 $1.4 \cdot 0.500 = 0.700 \text{ t/m}^2$ 又利用体积 \mathfrak{V} 来計算。計算时，当作剖切面 VII 沿整个宽度相等，一般尚能达到要求准确度。因此如果：

$$F_{VI} = \frac{1}{3} \cdot 0.9 \cdot 0.333 = 0.100$$

和宽度 $7.50 = 0.833 l_y$ ，則得：

$$8\pi\mathfrak{V} = 0.833 \cdot 0.100 = 0.083;$$

因此第三部分的弯矩

$$\Delta m_3 = \frac{1}{8\pi} \cdot 0.700 \cdot 0.083 \cdot 9.00^2 = 0.185 \text{ tm/m}.$$

最后，得由交通荷重所起的总弯矩：

$$m_y = 2.52 + 1.45 + 0.19 = 4.16 \text{ tm/m}.$$

例 4. 切力影响場按綫荷重进行計值。

按照图 9 所示的綫荷重 $p \text{ t/m}$ 計算一块四边嵌固的版在其場中心的切力 q_y 。

利用图表 67 的影响場。对应于綫荷重的一半面积 F 及其面积計算示于图 10。因此由于乘数为 2π ，得：

$$2\pi \int_e \kappa(\delta, \varepsilon; \xi, \eta) d\sigma = 2 \cdot 0.159,$$

所求的切力按(3,7a)

$$q_y = 2 \frac{1}{2\pi} 0.159 \cdot p = 0.0506p.$$

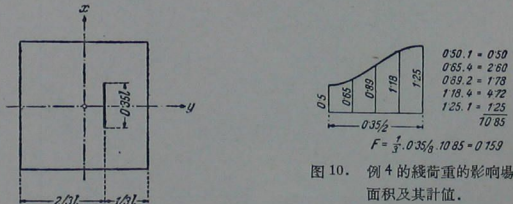


图 10. 例 4 的綫荷重的影响場
面积及其計值。

图 9. 例 4 的綫荷重的位置和长度。

§ 6. 結果的准 確 度

計算弹性版截面力有两条途径可循；即由經微分挠曲面或积分影响場而求其結果。即當给出的挠曲面和影响場的精度完全相等，亦因影响場求得的截面力，系由积分得來，結果要比由挠曲面經微分得来的准确得多。在

为計算影响場所发展的方法中，对奇异部分用完善的分析公式計算，只对有規則部分用級數計算，故能得出很准确的結果，因为引用了“修正奇異点”后，使有規則部分的級數收敛得特別好，一般只須計算一項已經足够，絕少

須要考慮四項以上。

用影响場來計算版由部分荷載所引起的截面力是很優越的；如果荷重愈集中到小部分範圍，則這個方法比其他任一計算方法愈加優越，給出的結果愈加準確。

將滿荷載的計值結果經與已知數值作比較後，使我們對所示出的影響場的準確度有個輪廓的概念。為了比較矩形版的數值用 F. 赛爾尼 (F. Cerny)^[18] 的結果；圓版用 K. 葛爾克曼 (K. Girkmann)^[19] 的公式。在下表中給出了由滿荷載時 $p = \text{常數}$ 所起的弯矩。

弯 矩 影 响 場

滿荷載 $p = \text{常數}$ 時的計值

矩形版 ($l = \text{長邊}$)

图表編號	弯 矩	图表編號	弯 矩	图表編號	弯 矩
14	$0.0360 \cdot p l^2$	34	$0.0700 \cdot p l^2$	53	$0.0615 \cdot p l^2$
15	0.0222 "	35	0.0103 "	54	0.0542 "
16	0.0364 "	36	0.0230 "	55	0.0298 "
17	0.0272 "	37	0.0495 "	56	0.0093 "
18	0.0324 "	38	0.0158 "	57	0.0470 "
20	0.0116 "	39	0.0286 "	58	0.0394 "
21	0.0274 "	40	0.0696 "	59	0.0095 "
22	0.0639 "	41	0.0200 "	60	0.0179 "
23	0.0253 "	42	0.0216 "	61	0.0422 "
24	0.0316 "	43	0.0595 "	62	0.0178 "
25	0.0837 "	44	0.0220 "	63	0.0102 "
26	0.0272 "	45	0.0166 "	64	0.0084 "
27	0.0228 "	46	0.0504 "	65	0.0515 "
28	0.0677 "	47	0.0137 "	66	0.1250 "
29	0.0226 "	48	0.0193 "	70	—
30	0.0135 "	49	0.0434 "	71	0.1250 "
31	0.0560 "	50	0.0495 "	72	0.1250 "
32	0.0460 "	51	0.0226 "	73	—
33	0.0232 "	52	0.0168 "	74	0.1250 "

圓版 ($a = \text{半徑}$)

图表編號	弯 矩	图表編號	弯 矩
75	$0.1890 \cdot p a^2$	78	$0.0640 \cdot p a^2$
76	0.1403 "	79	0.0159 "
77	0.1702 "	80	0.0473 "
		81	0.1250 "

滿荷載計值自然只可在閉合範圍(矩形和圓)的影響場上進行；對於帶形版和半帶形版，按滿荷載計值，至少從核算目的來講是沒有充分意義的。

下表給出關於滿荷載影響場的計值與比較值對照時出現的誤差概況；從 65 個曾進行過的矩形版和圓版影響場的 4 位小數的計值計算中得下列誤差：

$\Delta = 0$	9 個影響場
$0 < \Delta \leq 1\%$	25 個影響場
$1\% < \Delta \leq 2\%$	14 個影響場
$2\% < \Delta \leq 3\%$	8 個影響場
$3\% < \Delta \leq 4\%$	8 個影響場
$\max. \Delta = 4.3\%$	1 個影響場 (图表 18)
$\sum \Delta = 90.6\%$	65 個影響場

所以平均誤差： $\bar{\Delta} = \frac{90.6}{65} = \pm 1.4\%$.

因為影響場是準確計算截面力的依據，所以結果的準確度只與計值準確度有關了。計值時各視最終成果的要求準確度，可以採用從粗略面積估算至精細面積計算的一切方法。

§ 5 例舉中所採用的方法已可視為很精細的了。再要提高準確度，只有增多剖面數量才有可能。這尤其對於具有嵌固邊的版在滿荷載情況下按橫向剖切法計算時為顯著。總之，對於這種版在 $\kappa = 0$ (邊) 和 $\kappa = \pm 1$ 之間，應將等高線再分細，因為根據例 2 的粗略計算，覺得在邊緣附近影響場的形狀取得欠準確。